

Original Article



Study and Investigating the Effect of Meteorological Quantities on the Pollution Potential of Arak City

Received: 2023.09.19
Accepted: 2023.04.07

Mahmood Omidi,¹ Saviz Sehat Kashani,^{2*} Mehdi Rahnama,² Noushin Khoddam,²
Faezeh Noori,² Gholamreza Moradi,¹ Mohammadreza Ahmadi¹

¹ Markazi Province Meteorology Office, Arak, Iran

² Research Institute of Meteorology and Atmospheric Science (RIMAS), Tehran, Iran

EXTENDED ABSTRACT

Introduction: Urbanization and air pollution, especially in megacities, are major issues today. Understanding the factors contributing to this problem is crucial, and reducing the associated risks is a top priority for city and country officials. Arak City in Iran is one of the most polluted cities in the country, with industrial activities being the main cause of pollution. This research aims to investigate the meteorological factors that contribute to the pollution potential of Arak City, including wind speed, temperature, pressure, precipitation, boundary layer height, vertical velocity of the atmosphere at the levels of 825, 700, and 500 mb, and air conditioning coefficient. The study ultimately confirms Arak City's reputation as one of the most polluted cities in Iran.

Material and Methods: In this article, from the 20-year statistics of the Arak observation station (1380-1399) for the quantities of the earth's surface, including wind speed, temperature, pressure, and precipitation, as well as the 20-year data from 2001 to 2020, the reanalyzed data of Era5 from the database ECMWF has been used for upper-level quantities. To check other atmospheric quantities, including boundary layer height, wind speed in the upper atmosphere, and vertical wind at 825, 700, and 500 mb levels, Era5 reanalyzed data with a resolution of 0.25 degrees extracted from the ECMWF database were used.

Results and Discussion: The results indicated that low temperatures in the cold period of the year, as well as low night and morning temperatures in the cold months of the year, can cause temperature inversion and increase the retention potential of atmospheric pollutants. The average wind speed indicates the low and insignificant effect of the wind, especially in the cold days of the year and in the morning and night hours. Daily per capita rainfall of less than 1 mm did not have a significant effect in reducing pollutants. The investigation of meteorological quantities in the upper levels of the atmosphere showed that the height of the boundary layer fluctuates between 200 and 1400 m daily, which was less than 400 m from late November to January. Analysis of the vertical velocity at altitudes of 825 and 700 hPa revealed a downward movement during winter, autumn, and spring, while an upward trend was noted during daytime hours in the summer season. Furthermore, a descent was observed at the 500 hPa level throughout all seasons during nighttime hours, which is not as effective as the other two altitude levels. Examining the daily air ventilation coefficient also indicated its high fluctuations throughout the year from 800 to 7500 m^2s^{-1} . The number of hourly changes also indicated fluctuation in the range of 22000 to around zero. The maximum ventilation coefficient at 12 UTC was between 3000 and 20000 m^2s^{-1} . At 00:00, 03:00, and 21:00 UTC, the ventilation coefficient was less than 1500 m^2s^{-1} on all days of the year. Also, according to the location of Arak and Shazand, there is a possibility of the transfer of atmospheric pollutants from Shazand to Arak, especially in spring, autumn, and winter.

Conclusion: Overall, the study of weather patterns at both ground level and in higher parts of the atmosphere highlights the risk of pollution buildup and low ventilation in Arak City, particularly during the colder months and during nighttime and early morning hours. As a result, it is important for policies to prioritize the establishment of low-pollution industries and the management of sources of pollution, especially during the aforementioned times.

Keywords: Arak, Pollution potential, Ventilation coefficient, Boundary layer

How to cite this article:
Omidi, M., Sehat Kashani, S., Rahnama, M., Khoddam, N., Noori, F., Moradi, Gh. and Ahmadi, M., 2024.
Study and Investigating the Effect of Meteorological Quantities on the Pollution Potential of Arak City.
Environ. Sci. 22(3): 447-468

* Corresponding Author Email Address: s-sehat@irimo.ir
DOI: 10.48308/envs.2024.1340



Copyright: © 2024 by the authors. Submitted for possible open access publication under the terms and conditions of the Creative Commons Attribution (CC BY) license (<https://creativecommons.org/licenses/by/4.0/>).

مطالعه و بررسی تأثیر کمیت‌های هواشناسی بر پتانسیل آلودگی شهر اراک



محمود امیدی^۱، ساویز صحت کاشانی^{۲*}، مهدی رهنما^۳، نوشین خدام^۳، فائزه نوری^۳، غلامرضا مرادی^۱، محمدرضا احمدی^۱

تاریخ دریافت: ۱۴۰۲/۰۶/۲۸
تاریخ پذیرش: ۱۴۰۳/۰۱/۱۹

چکیده مبسوط

سابقه و هدف: توسعه شهرنشینی و آلودگی هوای شهری بویژه در کلان‌شهرها بعنوان یکی از معضلات جامعه بشری مطرح می‌شود و تلاش برای شناخت عوامل تأثیرگذار در مطالعات علمی اهمیت دوچندانی یافته و کاهش مخاطرات آن در دستور کار ویژه مستولان و سیاست‌گذاران شهری و کشوری قرار دارد. شهر اراک یکی از هشت کلان‌شهر آلوده ایران به حساب می‌آید که آلودگی آن بطور عمده تحت تأثیر فعالیت صنایع است. هدف این مقاله مطالعه و بررسی کمیت‌های هواشناسی اثرگذار بر پتانسیل آلودگی شهر اراک شامل سرعت باد، دما، فشار، بارش، ارتفاع لایه‌مرزی، سرعت قائم جو در ترازهای ۸۲۵، ۷۰۰ و ۵۰۰ میلی‌باری و ضربی تهویه هوا بعنوان یکی از آلوده‌ترین شهرهای کشور تعیین شده است.

مواد و روش‌ها: در این مقاله از آمار ۲۰ ساله ایستگاه همدیدی شهر اراک (۱۳۹۹-۱۳۸۰) برای کمیت‌های سطح زمین شامل سرعت باد، دما، فشار و بارش و همچنین از داده‌های ۲۰ ساله (۲۰۰۱-۲۰۲۰) باز تحلیل شده Era5 از پایگاه داده‌های ECMWF برای کمیت‌های سطوح فوقانی استفاده شده است. برای بررسی سایر کمیت‌های جوی شامل ارتفاع لایه‌مرزی، تندی باد در ترازهای بالای جو و باد قائم در ترازهای ۸۲۵ و ۷۰۰ و ۵۰۰ میلی‌باری نیز از داده‌های باز تحلیل شده Era5 با تفکیک ۰/۲۵ درجه بصورت روزانه استفاده شد. هدف اصلی این مقاله شناسایی کمیت‌های هواشناسی تأثیرگذار بر پتانسیل آلودگی، بررسی کمیت‌های جوی و پتانسیل آلودگی ازنظر پراکنش زمانی و تحلیل صحیح وضعیت آلودگی و عوامل آن با هدف یاری به مدیریت منابع آلاینده بود. بهاین منظور نخست به بررسی روند تغییرات میانگین شبانه‌روزی، ماهانه و فصلی کمیت‌های هواشناسی مذکور پرداخته شد. سپس با استفاده از ارتفاع لایه‌مرزی و متوسط باد در لایه مرزی کمیت ضربی تهویه محاسبه شد و تغییرات آن بصورت شبانه‌روزی، ماهانه و فصلی ارزیابی شد. همچنین برای بررسی انتقال آلودگی از شازند به سمت شهر اراک گلbad برای این منطقه تهیه و امکان انتقال آلودگی بررسی شد.

نتایج و بحث: نتایج بررسی تأثیر کمیت‌های هواشناسی بر پتانسیل آلودگی هوای شهر اراک نشان داد که کمیت دما می‌تواند به طور مستقیم در کیفیت هوای این شهر اثرگذار باشد. به طوری که دمای‌های پایین و کاهش دمای شبانه بویژه در فصول سرد سال می‌تواند سبب شکل‌گیری وارونگی و افزایش پایداری در نزدیکی سطح زمین شود. این وضعیت سبب کاهش ارتفاع لایه‌مرزی و کاهش ضربی تهویه شده و درنتیجه بالارفتن پتانسیل نگهداشت آلاینده‌های جوی را به همراه دارد. سرعت قائم جو نیز در فصل‌های سرد سال سبب فرونشینی شده که باعث افزایش میزان آلاینده‌ها می‌شود. با این حال نتایج تحلیل سرعت باد و سرانه بارشی نشان داد که این دو کمیت تأثیر کم و ناچیزی در کاهش آلاینده‌ها در سطح شهر اراک دارند. همچنین با توجه به موقعیت مکانی شهر اراک و شازند و بررسی گلbad این دو شهر، احتمال انتقال آلاینده‌های جوی از شازند به اراک بویژه در فصول بهار، پاییز و زمستان وجود دارد.

نتیجه‌گیری: به طور کلی بررسی کمیت‌های هواشناسی سطح زمین و سطوح فوقانی جو حاکی از پتانسیل بالای نگهداشت آلودگی و کم بودن ضربی تهویه شهر اراک است که بویژه در ماه‌های سرد سال و در ساعت‌های شبانه و صبحگاهی قابل توجه است. بنابراین، سیاست‌ها می‌بایست بر استقرار صنایع با آلاینده‌گی کم باشد و مدیریت منابع آلاینده به طور خاص در ایام سرد سال و ساعات شبانه و صبحگاهی می‌بایست مورد توجه قرار گیرد.

واژه‌های کلیدی: اراک، پتانسیل آلودگی، ضربی تهویه، لایه‌مرزی

^۱ اداره کل هواشناسی استان مرکزی، اراک، ایران

^۲ پژوهشگاه هواشناسی و علوم جوی، تهران، ایران

استناد به این مقاله: امیدی، م.، س. صحت کاشانی، م. رهنما، ن. خدام، ف. نوری، غ. مرادی و م. احمدی. ۱۴۰۳. مطالعه و بررسی تأثیر کمیت‌های هواشناسی بر پتانسیل آلودگی شهر اراک. فصلنامه علوم محیطی، ۴۶۸-۴۴۷ (۳): ۱۴۰۲-۱۴۰۳، ۲۲-۲۳.

* Corresponding Author Email Address: s-sehat@irimo.ir

DOI: 10.48308/envs.2024.1340



Copyright: © 2024 by the authors. Submitted for possible open access publication under the terms and conditions of the Creative Commons Attribution (CC BY) license (<https://creativecommons.org/licenses/by/4.0/>).

مقدمه

می‌شود. *Kayes et al.* (2019) با ذکر اینکه کمیت‌های هواشناسی نقش بسزایی در تأثیرگذاری بر کیفیت هوای محیط شهری دارند و از آنجاییکه داکا، پایتخت بنگلادش، یکی از نقاط معروف آلودگی هوا در میان کلان‌شهرهای جهان است، تأثیرات بالقوه هواشناسی بر معیارهای آلایینده هوا برای این کلان‌شهر موردمطالعه قرار دادند. *Oji and Adamu* (2020) نیز در هندوستان با مطالعه همبستگی بین کمیت‌های هواشناسی و غلظت آلودگی نشان دادند که غلظت آلایینده‌ها در جو در شرایط افزایش بارندگی، دمای پایین و افزایش رطوبت در فصل مرطوب نسبت به فصل خشک کمتر است. علاوه بر این، تحلیل همبستگی پیرسون از آلایینده‌ها و متغیرهای هواشناسی به برقراری ارتباط قوی بین دما، رطوبت نسبی، بارش و غلظت آلایینده در هر دو فصل خشک و مرطوب اشاره می‌کند. بررسی ارتباط احتمالی بین آلودگی هوا و متغیرهای هواشناسی در حوضه رودخانه سیوک در ترانسیلوانیا، معروف به قطب سرد رومانی توسط *Bodor et al.* (2020) نشان داد که آلایینده‌ها در طول دوره‌های گرمتر، بویژه در تابستان، غلظت‌های کمتری را نشان می‌دهند و غلظت‌های بالاتر قابل توجهی در فصل زمستان ناشی از استفاده از وسایل گرمایشی به دلیل تغییرات فصلی در مصرف انرژی (سوزاندن زیست‌توده) و پایداری جو مشاهده شد. *Liu et al.* (2020) در پژوهشی، مشاهدات ساعتی بارش، باد و غلظت PM10 و PM2.5 در شهر کینه‌وآندا در کشور چین را طی سال ۲۰۱۶ تا ۲۰۱۸ مورد بررسی قرار دادند. نتایج نشان داد که بارش دارای اثر مهار مرطوب معینی روی PM2.5 و PM10 است و اثر مهاری آن روی PM10 بیشتر از PM2.5 است. *Liu et al.* (2020) در پژوهشی با عنوان یافتن رابطه بین آلودگی هوا و شرایط آب و هوایی در چین به این نتیجه رسیدند که تأثیر شرایط هواشناسی بر غلظت آلایینده هوا با نوع آلایینده تفاوت دارد و همچنین میزان تأثیر در مناطق مختلف متفاوت است. با اینکه غلظت آلایینده‌های هوا در بیشتر ایستگاه‌ها تحت تأثیر عوامل متعدد هواشناسی قرار گرفت اما میزان تأثیر کمیت‌های هواشناسی به نوع آلایینده‌ها و موقعیت جغرافیایی

یکی از موضوعات مهم و ضروری در زمینه سلامت شهریوندان در کلان‌شهرها موضوع آلودگی هوا است. آلودگی هوا زمانی رخ می‌دهد که گازها، ذرات گرد و خاک، دود یا بو وارد جو شود و برای انسان، حیوانات و گیاهان مضر باشد (Chodari, 2013). این تغییرات می‌توانند از طریق فرآیندهای طبیعی مانند خروج ذرات از آتشفسان‌ها یا گردبادهای صحرایی یا از طریق فرایند مصنوعی ناشی از کاربردهای مختلف صنعتی و حمل و نقل ایجاد شوند (Allahabadi and Ahmadi Asoor, 2011). علل آلودگی هوا به عوامل مختلفی از جمله انتشار، مقیاس محلی و همدیدی، شرایط جوی، شرایط عوارض زمینی، فرآیندهای شیمیایی جو، مناطق اطراف منبع انتشار و فصل سال بستگی دارد (Hosseinibalam and Hejazi, 2012). بهترین شرایط برای پخش آلایینده‌ها عمولاً با ناپایداری شدید و استقرار یک لایه آمیزش ضخیم همراه است. این موضوع در شرایط هوای آفتایی در ساعات روز، بویژه در تابستان‌ها رخ می‌دهد. در حالی که نامطلوب‌ترین شرایط زمانی حاصل می‌شود که وارونگی دمایی وجود داشته و لایه مجاور سطح زمین پایدار باشد. در این اوقات تلاطم سرکوب شده و حرکات عمودی به‌گونه‌ای مؤثر تضعیف می‌شود (Skoro, 2001).

Gassmann and Mazzeo (2000) در پژوهشی به بررسی پتانسیل آلودگی هوا در آرژانتین پرداختند و از پتانسیل آلودگی هوا بعنوان معیاری از شرایط جوی که قادر به انتقال و رقیق کردن آلایینده‌ها در هوا، صرف‌نظر از وجود منابع آلایینده تعریف کردند. نتایج این پژوهش نشان داد که با استفاده از ارتفاع اختلاط و باد می‌توان پتانسیل آلودگی هوا را تعیین کرد. در این مقاله یک تحلیل آماری از ارتفاع اختلاط و باد، به‌منظور تعیین مناطق با تهویه جو بالا یا ضعیف در آرژانتین، ارائه شده است. بررسی یک مطالعه موردي از آلودگی شدید هوا در ۴ تا ۹ دسامبر ۲۰۱۳ در دلتای رودخانه یانگ تسه توسط *Xu et al.* (2016) نشان داد شرایط سکون جو که با سرعت کم باد سطحی، وارونگی دمایی در لایه‌مرزی سیارهای و سامانه پرشار ضعیف و نیز رخداد مه همراه است به تجمع آلایینده‌ها منجر

دارند در حالی که سهم قابل توجهی در انتشار NO_2 و SO_2 را دارا هستند. Borhani *et al.* (2023) با استفاده از ترکیب محصولات سنجش از دور شامل چگالی ستون ازن از سنجنده سنتیل ۵ همراه با کمیت‌های دما، سرعت باد و نم ویژه و نیز اطلاعات جغرافیایی و جمعیت استان تهران، آثار آلودگی ازن بر اقلیم شهری و وضعیت پوشش گیاهی در ۱۶ شهرستان این استان را بررسی کردند. نتایج نشان داد یک روند فصلی در تغییرات چگالی ازن در تمام مناطق وجود دارد به‌طوری که بیشترین مقدادر در فصل گرم و کمترین آن در فصل سرد سال به‌دست آمد. همچنین از نظر موقعیت جغرافیایی بیشترین مقدادر در شهرستان‌های شهریار و پاکدشت و کمترین آن در شهرستان شمیرانات ثبت شده است. علاوه براین، یک همبستگی مثبت بین چگالی ستون ازن و شاخص پوشش گیاهی به‌دست آمد، در حالی که همبستگی بین چگالی ستون ازن با سرعت باد، نم ویژه و دما منفی است. با توجه به مضرات و آسیب‌های زیستمحیطی انتشار ذرات معلق، Borhani *et al.* (2023) در مطالعه‌ای به بررسی و تعیین غلظت $\text{PM}_{2.5}$ و PM_{10} و تأثیر کمیت‌های هواشناسی بر آن در چهار ایستگاه در کارخانه سیمان کرمان طی فصول مختلف سال پرداختند. نتایج حاکی از آن است که بیشینه مقدادر غلظت ذرات معلق در سال‌های مختلف در مکان‌های متفاوتی مشاهده می‌شود. همچنین افزایش غلظت ذرات معلق با افزایش رطوبت نسبی و بارندگی مشاهده شد.

بررسی مطالعات و طرح‌های تحقیقاتی انجام‌شده در خصوص آلودگی هوای شهر اراک نشان داد که منابع آلاینده، سیاهه انتشار آلاینده‌ها و برخی کمیت‌های هواشناختی همچون سرعت باد موردنرسی قرار گرفته‌اند. این در حالی است که علاوه بر منابع آلاینده، عوامل دیگری از جمله پتانسیل آلوده‌پذیری، تأثیرپذیری منطقه، ویژگی‌های اقلیمی و کمیت‌های هواشناسی نیز در افزایش غلظت آلاینده‌ها از اهمیت بسزایی برخوردارند که این موضوع تاکنون برای شهر اراک مطالعه نشده است. در مکان‌یابی مناطق صنعتی و شهری توجه به ضریب تهویه هوای و پتانسیل آلودگی هوای منطقه

ایستگاهها نیز بستگی دارد. Voiculescu *et al.* (2020) در مطالعه‌ای ارتباط کمیت‌های هواشناسی (دما، رطوبت نسبی، تابش مستقیم) و تغییر غلظت NO_2 در یک محیط شهری در رومانی را مورد بررسی قرار دادند. به‌طور کلی مقدار NO_2 در جو نزدیک به زمین، در تابستان کمینه و در اوخر پاییز لامستان در بیشتر سال‌ها بیشینه است. همچنین ترافیک عامل مهمی در آلودگی جوی NO_2 در ساعت روز است.

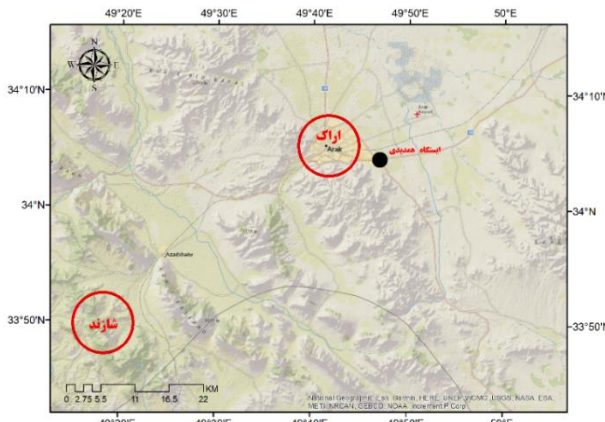
نتایج پژوهش Karam *et al.* (2013) نشان می‌دهد که شهر اراک از نظر عوارض زمینی شرایط خاصی را دارد است به‌طوری که دشت اراک توسط یک سلسله ارتفاعات محدود شده و چاله طبیعی بسته‌ای را پدید آورده است. Nowrozi, and Shamsipour (2014) متوسط مقیاس آلودگی هوا (TAPM) به بررسی الگوی پخش آلاینده‌ها در شهر اراک پرداختند. آن‌ها دو روز از دوره گرم سال و دو روز از دوره سرد سال با شرایط هوای آرام و با شرایط وجود باد و داده‌های منتشرشده از نیروگاه برق شازند در جنوب غرب اراک را به مدل معروفی کردند. نتیجه حاکی از آن بود که در شرایط وزش باد و حالت ناپایدار جوی، جریان باد به صورت افقی و قائم موجب انتقال آلاینده‌ها به مناطق دورتر شده و تعديل آلودگی را سبب می‌شود؛ اما در شرایط هوای آرام با گرم شدن سطح زمین و جو مجاور آن، جریان‌های همرفتی در سطح زمین ایجاد شده و منجر به تعديل آلودگی هوا می‌شود. نتایج بررسی شاخص آلودگی در سال ۱۳۹۰ توسط Kermani *et al.* (2016) نشان داد که بر اساس شاخص بهداشت کیفیت هوای میزان آلودگی هوا در هفت کلان‌شهر کشور در وضعیت نامناسبی قرار دارد و بر این اساس کیفیت هوای در شهرهای اهواز، اراک، تهران، اصفهان، شیراز، تبریز و مشهد به ترتیب در ۸۵، ۴۳، ۴۷، ۶۰، ۷۰، ۷۳، و ۲۹ درصد از روزها از حد استاندارد تجاوز کرده است. Badamfirooz *et al.* (2022) با استفاده از مدل سازی آلودگی هوا توسط مدل ADMS اثر انتشار ذرات معلق و گازهای ناشی از فعالیت‌های صنایع مختلف بر محیط‌زیست شهر اراک را برآورد کردند. نتایج نشان داد که در انتشار گاز CO صنایع سهم کمتری نسبت به حمل و نقل

۰۰ دقیقه شمالی، با ارتفاع ۱۷۰۰ متر بالاتر از سطح دریا واقع شده است و به دلیل حضور بسیاری از صنایع یکی از شهرهای صنعتی مهم در ایران است (Salehi *et al.*, 2021; Ghahroudi, 2016; Tali, 2016). موقعیت مکانی و تصویر ماهواره‌ای شهر اراک، شازند و ایستگاه هواشناسی اراک در شکل (۱) نشان داده شده است. همان‌طور که در تصویر ماهواره مشاهده می‌شود ارتفاعات این منطقه به‌گونه‌ای است که فلات اراک را احاطه کرده و محیط طبیعی متنوعی را شکل داده است. این شهر در کانون همگرایی دو رشته کوه غربی و جنوبی در مدخل دره‌ای که ارتفاعات را از هم جدا می‌کند، قرار گرفته است. تأثیرات این نوع عوارض زمینی ویژه باعث محسوس شدن شهر اراک توسط ارتفاعات و مانع خروج آلودگی هوا از شهر می‌شود و همچنین صنایع در مسیر بادهای غالب و بادهای محلی شرقی قرار گرفته و باعث ورود آلودگی هوا به داخل شهر می‌شود.

ضرورت دارد. عدم توجه به عوامل مذکور، وضعیت تهویه‌پذیری شهر و همچنین تغییرات زمانی تهویه‌پذیری می‌تواند با تحلیل اشتباه منجر به تصمیمات نادرست در مقوله آلودگی هوا، بویژه هنگام عکس‌العمل‌های فوری و کوتاه‌مدت در موقع هشدار و نیز در برنامه‌ریزی‌های بلندمدت شود. همان‌طور که اشاره شد آنچه کمتر مورد توجه قرار گرفته پتانسیل نگهداشت آلاینده‌های جوی با استفاده از کمیت‌های جوی بعنوان یک ویژگی اقلیمی و صرف‌نظر از منابع آلاینده در یک منطقه است. بنابراین این مقاله با هدف شناسایی کمیت‌های هواشناسی تأثیرگذار بر پتانسیل آلودگی، شناسایی کمیت‌های جوی و پتانسیل آلودگی از نظر پراکنش زمانی و تحلیل صحیح وضعیت آلودگی و عوامل آن در شهر اراک با هدف یاری به مدیریت منابع آلاینده تهیه شده است.

منطقه مورد مطالعه

شهر اراک که در ۴۹ درجه و ۴۰ دقیقه شرقی و ۳۴ درجه و



شکل ۱- موقعیت مکانی شهر اراک، شازند و ایستگاه هواشناسی اراک

Fig. 1- Location and satellite image of Arak city, Shazand and Arak meteorological station

با تفکیک ۰/۲۵ درجه به صورت روزانه استفاده خواهد شد که از پایگاه داده ECMWF استخراج و مورد بررسی قرار گرفته است. انتخاب تراز ۸۲۵ میلی‌باری به دلیل شرایط ارتفاعی منطقه است که تقریباً همان‌ارتفاع با این تراز است. روند تغییرات کمیت‌های مذکور به صورت روزانه، ماهانه و فصلی در ۸ ساعت سینوپ (UTC ۰۰:۰۰، ۰۳:۰۰، ۰۶:۰۰، ۰۹:۰۰، ۱۲:۰۰، ۱۵:۰۰، ۱۸:۰۰، ۲۱:۰۰) موردنبررسی قرار گرفته و میانگین شبانه‌روزی، ماهانه و فصلی تحلیل شده است. همچنین ضریب تهویه هوا با توجه به ارتفاع لایه‌مرزی و متوسط سرعت باد در

مواد و روش‌ها

در این مقاله از آمار ۲۰ ساله ایستگاه همدیدی اراک از سال ۱۳۸۰ تا ۱۳۹۹ (۲۰۰۱-۲۰۲۰) برای کمیت‌های سطح زمین شامل سرعت باد، دما، فشار و بارش و همچنین داده‌های باز تحلیل شده Era5 از پایگاه داده‌های (CDS, 2017) ECMWF برای کمیت‌های سطح فوقانی در بازه زمانی مورد مطالعه استفاده شده است. برای بررسی سایر کمیت‌های جوی شامل ارتفاع لایه‌مرزی، تندی باد در ترازهای بالای جو و باد قائم در ترازهای ۷۰۰ و ۵۰۰ میلی‌باری از داده‌های باز تحلیل شده

اوایل آبان میانگین دما بیش از ۱۰ درجه سلسیوس است و پس از آن تا پایان سال میانگین دما کمتر از ۱۰ درجه سلسیوس است. متوسط دمای کمتر از ۱۰ درجه سلسیوس در دوره سرد سال و در بازه آذر ماه تا اسفند ماه کمتر از پنج درجه سلسیوس در شرایط پایدار جوی عدم شکل‌گیری جریانات همرفتی و جابجایی را سبب می‌شود. دامنه تغییرات میانگین فشار در طول روزهای سال بین ۸۲۵ تا ۸۳۵ میلی‌بار است. بیشترین میانگین فشار روزانه در اواسط مهرماه است و کمترین مقدادر در اوخر خردماه است. میانگین فشار در روزهای اواسط مهر تا اوخر دی‌ماه بالا است که حاکی از عدم امکان شکل‌گیری جریانات همرفتی است. به طور میانگین سرعت باد حدود سه متر بر ثانیه است (شکل ۳). بیشینه میانگین سرعت باد در روزهای ابتدایی و پایانی سال است. کمینه میانگین سرعت باد نیز از اوایل مهر تا اوخر بهمن ماه در حدود ۱/۵ متر بر ثانیه و گاه کمتر است. مقدادر کم میانگین سرعت باد در شهر اراک حاکی از امکان جابجایی کم آلودگی‌ها توسط باد سطحی است. سرعت کم باد در ساعتهای شباهن و صبحگاهی و افزایش کم متوسط سرعت باد در ساعتهای روزانه در زمان سرد سال موجب افزایش پتانسیل نگهداشت آلاینده و جابجایی کمتر آن‌ها در طول روز می‌شود. در نمودار شکل ۴ تغییرات روزانه متوسط سرعت قائم جو در تراز ۸۲۵، ۷۰۰ و ۵۰۰ میلی‌بار آمده است. همان‌طور که در شکل مشخص است تغییرات فرونشینی جو در تراز ۷۰۰ میلی‌بار بیشتر از دو تراز فشاری ۸۲۵ و ۵۰۰ میلی‌باری است. بررسی فرونشینی جو در تراز ارتفاعی ۷۰۰ میلی‌باری در بازه زمانی فروردین تا اواسط خرداد و همچنین از اوخر شهریور تا پایان سال حاکی از فرونشینی جو است و در بازه اواسط خرداد تا مهر ماه میل به صعود در جو وجود دارد. تراز ارتفاعی ۵۰۰ میلی‌باری نسبت به دو تراز ارتفاعی دیگر بیشتر میل به خنثی بودن وجود دارد. تراز ارتفاعی ۸۲۵ میلی‌باری نیز با مقدادر کمتری، روندی شبیه تراز ۷۰۰ میلی‌باری دارد؛ در بازه اواسط خرداد تا مهر ماه میل کمی به صعود وجود دارد و در سایر روزهای سال در این تراز ارتفاعی میل به فرونشینی جو وجود دارد.

طول لایه‌مرزی محاسبه و نمودارهای مربوطه تهیه و مورد تحلیل قرار گرفته است. سرعت باد در لایه‌های جو بر اساس مؤلفه‌های u و v از داده‌های باز تحلیل شده Era5 است که برای به دست آوردن متوسط سرعت باد از رابطه (۱) استفاده می‌شود (Holton, 2004)

$$V = \sqrt{v^2 + u^2} \quad (1)$$

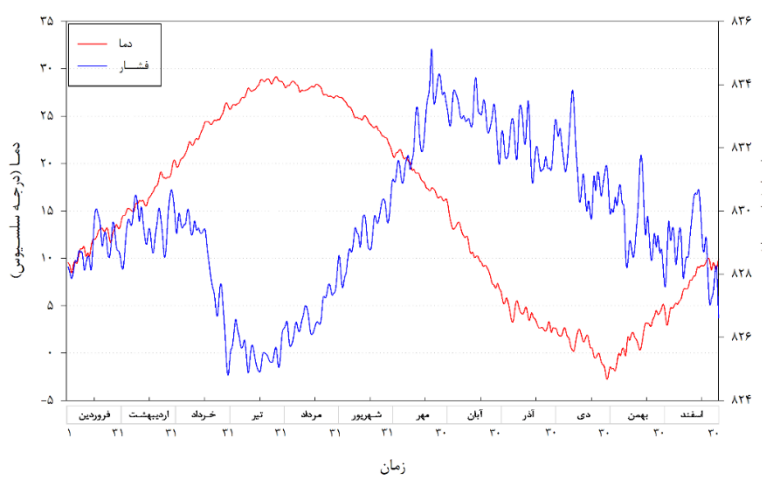
ضریب تهویه حاصل ضرب ارتفاع عمق لایه‌مرزی و میانگین سرعت باد در همان ارتفاع است. از آنجاکه سرعت باد در ارتفاع متغیر است لذا مناسب با هر ارتفاع یک سرعت باد خواهیم داشت و رابطه حاصل برای محاسبه ضریب تهویه (Chan, 2012) به شکل زیر خواهد بود.

$$VC = Z_i * U \quad (2)$$

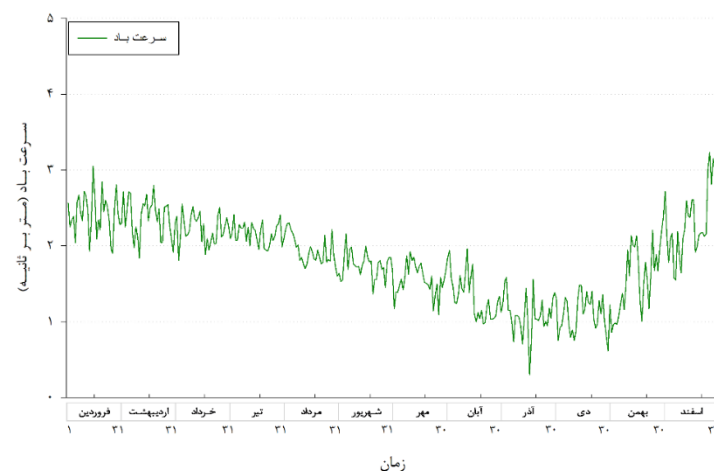
که در آن Z_i ارتفاع لایه‌مرزی جوی برحسب متر و U متوسط سرعت باد (متر بر ثانیه) در لایه‌مرزی است. در این مقاله به طور مختصر به امکان جابجایی آلودگی از نقاط دیگر به شهر اراک پرداخته شده است. البته بررسی دقیق این امر نیاز به تحقیق گسترش دارد. یکی از موارد مهم انتقال آلودگی به شهر اراک که بسیار مورد بحث است، امکان جابجایی آلودگی شهر شازند به این شهر است. با توجه به موقعیت شهر شازند و واقع شدن در جنوب غربی شهر اراک بررسی گلباد شهر شازند می‌تواند جهت انتشار آلاینده‌ها را نشان دهد. در این مقاله داده مورداستفاده جهت ترسیم گلباد شازند در تراز ارتفاعی ۸۰۰ میلی‌بار از داده‌های meteoblue history+ سایت است که در آن تنها داده‌های سال ۲۰۱۹ در قسمت Era5 بهصورت آزاد در دسترس است.

نتایج و بحث

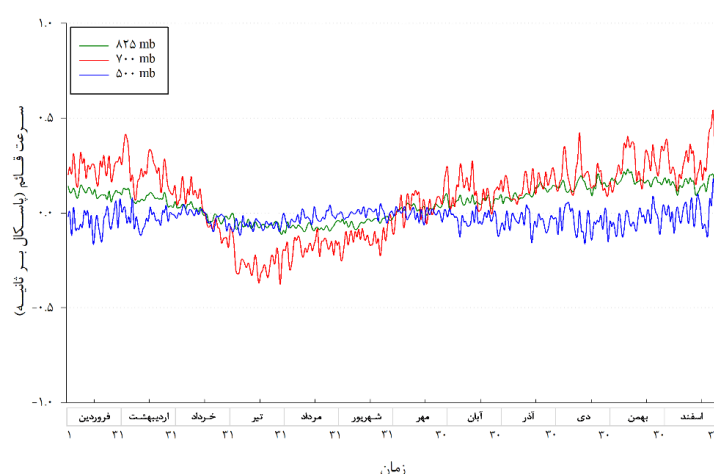
بررسی روند میانگین شباهنروزی کمیت‌های موردمطالعه شکل ۲ روند تغییرات میانگین دمای روزانه و فشار را در بازه زمانی ۱۳۹۹-۱۳۸۰ در شهر اراک نشان می‌دهد. بیشینه میانگین دما در روزهای پایانی تیرماه و ابتدای مردادماه حدود ۲۹ درجه سلسیوس است. کمینه میانگین دما نیز در اوخر دی‌ماه حدود ۲/۵ درجه سلسیوس است. از ابتدای سال تا



شکل ۲- متوسط تغییرات روزانه دما (آبی) و تغییرات متوسط روزانه فشار (قرمز) طی سال‌های (۱۳۹۹-۱۳۸۰)
Fig. 2- Average daily changes in temperature (blue) and average daily changes in pressure (red) during the years (2001-2020)



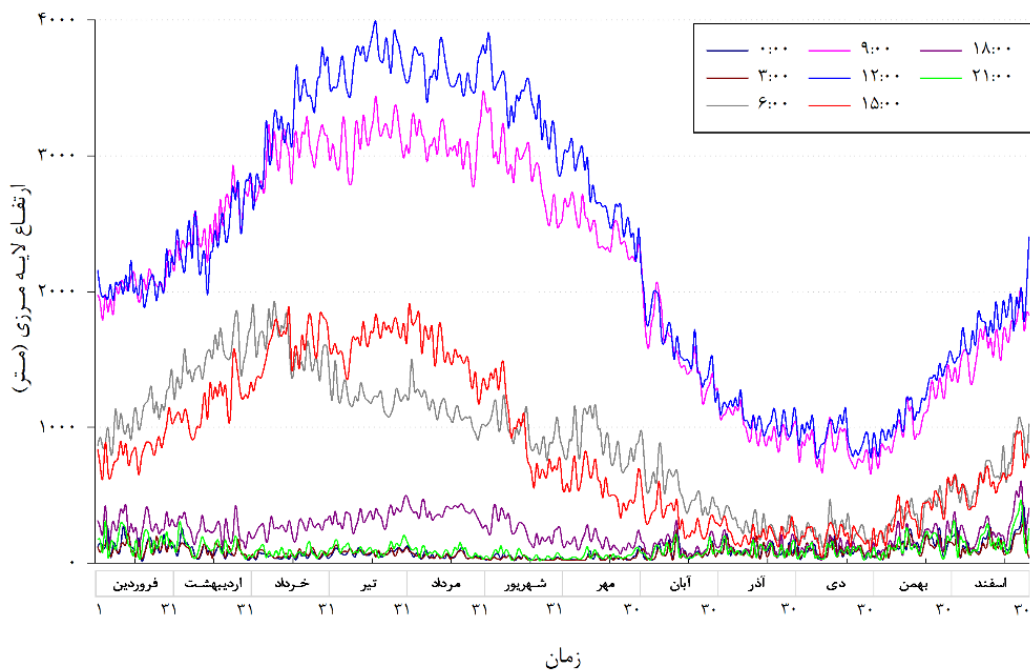
شکل ۳- تغییرات روزانه متوسط سرعت باد طی سال‌های (۱۳۹۹-۱۳۸۰)
Fig. 3- Average daily changes of wind speed during the years (2001-2020)



شکل ۴- تغییرات روزانه متوسط سرعت قائم جو در تراز ۸۲۵ (سبز)، ۷۰۰ (قرمز) و ۵۰۰ (آبی) میلی بار طی سال‌های (۱۳۹۹-۱۳۸۰)
Fig. 4- Average daily changes of atmospheric vertical velocity at the level of 825 (green), 700 (red) and 500 (blue) mb during the years (2001-2020)

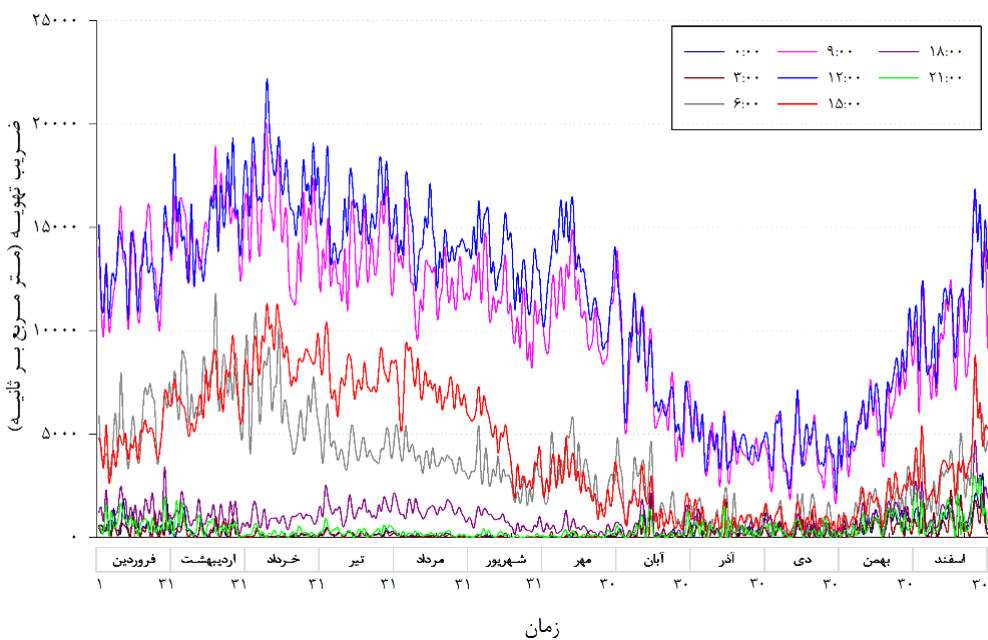
مورد بررسی قرار گرفته است. متوسط روزانه ضریب تهویه جو طی ساعت‌های ۰۰ تا ۲۱ UTC در نمودار شکل ۶ نوسانات زیاد آن را در طول سال و همچنین در ساعت‌های شبانه‌روز نشان می‌دهد. میزان نوسانات ضریب تهویه در بازه ۲۲۰۰۰ مترمربع بر ثانیه تا حدود صفر در ساعتی UTC از روز در نوسان است. در ساعت‌های ۰۹ و ۱۲ UTC ضریب تهویه در طول سال نسبت به سایر ساعت‌های روز بالاتر است. بیشترین آن حدود ۲۰۰۰۰ تا کمترین آن حدود ۳۰۰۰ مترمربع بر ثانیه در روزهای سرد سال است. در ساعت ۰۶ و ۱۵ UTC نیز ضریب تهویه بین ۴۰۰۰ تا ۸۰۰۰ مترمربع بر ثانیه تا پایان تابستان در نوسان که پس از آن از مقدار آن کاسته می‌شود به طوری که از آذر ماه تا اسفند ماه به کمتر از ۱۰۰۰ متر می‌رسد. در ساعت ۱۸ UTC نیز ضریب تهویه در طول سال کمتر از ۲۰۰۰ مترمربع بر ثانیه است و حتی در آذر ماه تا اسفند ماه به کمتر از ۱۰۰۰ متر مربع بر ثانیه می‌رسد. به طور کلی متوسط ضریب تهویه روزانه طی ساعت‌های ۰۰، ۰۳، ۰۶، ۰۹، ۱۲، ۱۵، ۱۸ و ۲۱ UTC در طول سال کمتر از سایر ساعت‌ها است؛

تغییرات قابل توجه ارتفاع لایه‌مرزی شهر اراک طی ساعت ۰۰ تا ۲۱ UTC در شکل ۵ به خوبی نمایان است. به طور کلی تغییرات میانگین ارتفاع لایه‌مرزی در طول سال در ساعت شب ناچیز است، در حالی که با توجه به تغییرات دمایی، در طی روز تغییرات قابل توجهی مشاهده می‌شود. در طول سال میزان تغییرات ارتفاع متوسط لایه‌مرزی در روزهای گرم سال از کمتر از ۲۰۰ متر در ساعت‌های ۰۰، ۰۳ و ۰۹ UTC تا بیش از ۳۰۰۰ متر در ساعت‌های ۰۶ و ۱۲ UTC نوسان دارد. دامنه این میزان نوسان در روزهای سرد سال از کمتر از ۲۰۰ تا ۱۰۰۰ متر است. در ساعت‌های ۰۶ و ۱۵ UTC ارتفاع لایه‌مرزی در روزهای گرم سال به بیش از ۱۰۰۰ متر می‌رسد و در بازه زمانی اوخر آبان تا اوخر بهمن کمتر از ۴۰۰ متر است. ارتفاع کم لایه‌مرزی در ساعت شبانه‌روز و صباحگاهی بویژه در روزهای سرد سال سبب بالا رفتن صبحگاهی نگهداشت آلاینده‌های جوی می‌شود. از آنجاکه تغییرات ضریب تهویه مشابه ارتفاع لایه‌مرزی است، در این قسمت نیز تغییرات این کمیت به صورت سه ساعتی



شکل ۵- متوسط تغییرات روزانه ارتفاع لایه‌مرزی در ساعت‌های (۰۰ و ۰۳ و ۰۶ و ۰۹ و ۱۲ و ۱۵ و ۱۸ و ۲۱ UTC) طی سال‌های (۱۳۸۰-۱۳۹۹) زمان

Fig. 5- Average daily changes of boundary layer height in hours (00, 03, 06, 09, 12, 15, 18, and 21 UTC) during the years (2001-2020)



شکل ۶- تغییرات روزانه متوسط ضریب تهویه در ساعت‌های (۰۰ و ۰۳ و ۰۶ و ۰۹ و ۱۲ و ۱۵ و ۱۸ و ۲۱ UTC) طی سال‌های (۱۳۹۹-۱۳۸۰) Fig. 6- Average daily changes of the ventilation coefficient in hours (00, 03, 06, 09, 12, 15, 18 and 21 UTC) during the years (2019-2020)

بسیار کم و حدود $0/5$ تا 1 متر بر ثانیه است. همچنین در ساعت‌های 18 و 21 نیز حدود $0/5$ تا $1/5$ متر بر ثانیه است. متوسط سرعت کم باد در این ساعت‌ها در ماه‌های مختلف سال و بخصوص ماه‌های سرد سال گواه بر عدم جابجایی آلاینده‌ها در این ساعت‌ها شبانه‌روز است. متوسط سرعت باد طی ساعت 06 تا 15 UTC بین ماه‌های مختلف سال اختلاف بیشتری دارد و در ساعت 12 UTC این اختلاف به $2/5$ متر بر ثانیه نیز می‌رسد. نکته قابل ذکر متوسط سرعت باد کم در ماه‌های آذر و دی حتی در ساعت 12 UTC است. بررسی تغییرات متوسط فشار ماهیانه طی ساعت‌های 00 تا 21 UTC نشان داد که پرفشارترین ماه‌ها به ترتیب آبان، مهر و آذر و میزان تغییرات متوسط فشار در این ماه‌ها در شبانه‌روز حدود دو میلی‌بار است. کم فشارترین ماه‌ها به ترتیب تیر، مرداد و خرداد و میزان تغییرات متوسط فشار حدود $2/5$ میلی‌بار است. متوسط فشار بالا در ماه‌های سرد سال و میزان کمتر تغییرات روزانه در این ماه‌ها حاکی از پایداری بیشتر جو و درنتیجه افزایش پتانسیل آلودگی هوا در این ماه‌ها است.

بررسی تغییرات میانگین ماهانه کمیت‌های مورد مطالعه

در این بخش روند تغییرات میانگین ماهانه کمیت‌های دما، سرعت باد، فشار، سرعت قائم جو در ترازهای مختلف، ارتفاع لایه‌مرزی و ضریب تهویه هوا مورد بررسی و تحلیل قرار می‌گیرد. با توجه به محدودیت، در این بخش تنها بخشی از نتایج در قالب جدول ارائه می‌شود. متوسط تغییرات دمای ماهیانه طی ساعت 00 تا 21 UTC در جدول ۱ حاکی از اختلاف دما تا 25 درجه سلسیوس در ساعت 00 ، 03 ، 06 ، 09 و 18 UTC بین ماه‌های گرم و سرد سال و همچنین اختلاف دما تا 30 درجه سلسیوس بین ماه‌های گرم و سرد سال در ساعت 12 ، 15 و 21 UTC است. اختلاف موجود و همچنین دماهای کمتر در ماه‌های سرد سال بخصوص در ساعت‌های شبانه و صبحگاهی می‌تواند کاهش ارتفاع لایه‌مرزی در این ماه‌ها را بیان دارد و افزایش پتانسیل آلودگی هوا را به همراه داشته باشد. تغییرات متوسط سرعت باد ماهیانه طی ساعت 00 تا 21 UTC در جدول ۲ بیان می‌دارد طی ساعت‌های 00 و 03 UTC متوسط سرعت باد در تمام ماه‌ها

جدول ۱- متوسط ماهانه دمای هوا در ساعت ۰۰ و ۰۳ و ۰۶ و ۰۹ و ۱۲ و ۱۵ و ۱۸ و ۲۱ UTC طی سال‌های (۱۳۹۹-۱۳۸۰)

Table 1. Average monthly air temperature at 00, 03, 06, 09, 12, 15, 18, and 21 UTC during the years (2001-2020)

	0	3:00	6:00	9:00	12:00	15:00	18:00	21:00
فروردین (April)	7.5	6.3	11.6	15.5	16.6	14.4	11.6	9.4
اردیبهشت (May)	11.9	11.5	17.7	21.5	22.3	20.2	16.8	14.2
خرداد (June)	16.8	16.9	24.2	28.6	29.9	28	23.6	20.2
تیر (July)	21.6	21.2	28.3	33.1	34.5	32.3	28	24.9
مرداد (August)	21.6	20.5	28	33.2	34.6	31.9	27.4	24.5
شهریور (September)	17.8	16	24	29.9	31.4	27.7	23.6	20.6
مهر (October)	12.4	10.5	18	24	25.4	21.1	17.9	14.9
آبان (November)	6.1	4.9	9.2	14.2	15.5	11.8	9.6	7.6
آذر (December)	0.7	-0.2	2.5	6.8	8.6	5.3	3.4	1.8
دی (January)	-2.2	-3.1	-0.8	3.4	5.4	2.3	0.4	-1.1
بهمن (February)	-1.2	-2.2	0.6	4.9	6.8	4	1.9	0.3
اسفند (March)	3.5	2.3	6.6	11.2	12.8	10.1	7.4	5.4

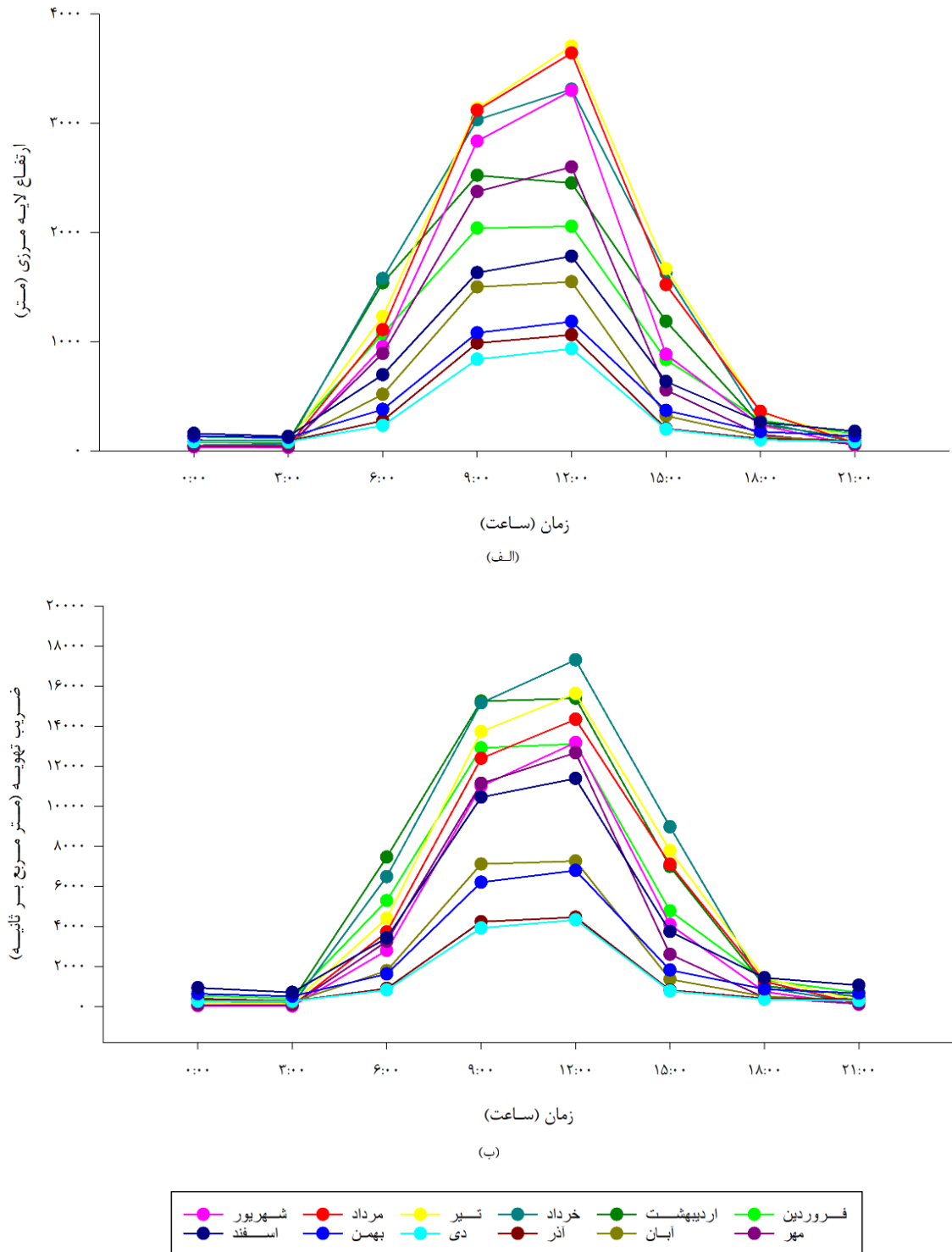
جدول ۲- متوسط سرعت باد ماهانه در ساعت ۰۰ و ۰۳ و ۰۶ و ۰۹ و ۱۲ و ۱۵ و ۱۸ و ۲۱ UTC طی سال‌های (۱۳۹۹-۱۳۸۰)

Table 2. Average monthly wind speed at 00, 03, 06, 09, 12, 15, 18 and 21 UTC during the years (2001-2020)

	0:00	3:00	6:00	9:00	12:00	15:00	18:00	21:00
فروردین (April)	1.13	0.96	1.96	3.81	4.44	3.39	2.12	1.53
اردیبهشت (May)	0.88	0.75	2.07	3.94	4.55	3.48	2.05	1.24
خرداد (June)	0.55	0.4	1.71	3.63	4.48	3.97	1.94	1.02
تیر (July)	0.65	0.49	1.55	3.43	4.22	4.2	1.74	1
مرداد (August)	0.51	0.4	1.35	3.04	4.06	3.8	1.09	0.74
شهریور (September)	0.41	0.33	1.06	2.82	3.91	3.21	1.26	0.74
مهر (October)	0.43	0.31	0.99	2.97	3.7	2.13	1.42	0.81
آبان (November)	0.5	0.42	0.98	2.15	2.65	1.68	1.24	0.66
آذر (December)	0.64	0.57	0.91	1.65	1.89	1.31	0.84	0.69
دی (January)	0.6	0.57	0.85	1.68	2.08	1.36	0.9	0.69
بهمن (February)	1	0.92	1.3	2.51	2.94	1.99	1.4	1.1
اسفند (March)	1.23	1.1	1.83	3.53	4.3	3.04	2.03	1.6

تهویه هوا ماهیانه آمده است. کمترین ارتفاع لایه‌مرزی به ترتیب در ماه‌های دی، آذر و بهمن است که ارتفاع لایه‌مرزی در این ماهها در ساعت ۰۹ و ۱۲ UTC حدود ۱۰۰۰ متر و کمتر است. در ماه‌های تیر و مرداد نیز بیشترین ارتفاع لایه‌مرزی در ساعت ۱۲ UTC به طور متوسط بیش از ۳۵۰۰ متر است. میزان تغییرات متوسط ارتفاع لایه‌مرزی در ساعتهاست. میزان تغییرات متوسط ارتفاع لایه‌مرزی در سال ۰۰، ۰۳، ۲۱ و ۱۸ UTC به علت پایداری بیشتر جو عدم دریافت تابش طی این ساعتها در ماه‌های مختلف اختلاف زیادی ندارد؛ اما در سایر ساعتها در طول روز یعنی بین ساعت ۰۶ تا ۱۵ UTC به علت تابش و ناپایدارتر شدن جو اختلاف متوسط ارتفاع لایه‌مرزی در ساعتها ۰۹ و ۱۲ UTC در ماه دی و تیر بیش از ۲۰۰۰ تا ۲۵۰۰ متر نیز است. تغییرات متوسط ارتفاع لایه‌مرزی در طول ساعتها شبانه‌روز در ماه‌های دی، آذر و بهمن به نسبت سایر ماهها بسیار کمتر است که گواه بر انباست آلاینده‌ها در صورت وجود آن‌ها است. بررسی نمودار شکل ۳ متوسط ضریب تهویه ماهیانه طی ساعتهاست. UTC ۲۱ نتایج قابل توجهی را ارائه می‌نماید. ضریب تهویه در ساعتها ۰۰، ۰۳، ۱۸ و ۲۱ در کلیه ماه‌های سال کمتر از ۱۰۰۰ مترمربع بر ثانیه است. در ماه‌های آذر و دی در ساعتها ۰۶ و ۱۵ UTC متوسط ضریب تهویه کمتر از ۱۰۰۰ مترمربع بر ثانیه است. در ساعت ۰۹ و ۱۲ UTC ضریب تهویه حدود ۴۰۰۰ مترمربع بر ثانیه است. در ماه‌های آبان و بهمن در ساعتها ۰۶ و ۱۵ UTC متوسط ضریب تهویه UTC ۱۲ کمتر از ۲۰۰۰ مترمربع بر ثانیه است. در ساعت ۰۹ و ۱۲ UTC ضریب تهویه حدود ۶۰۰۰ تا ۷۰۰۰ مترمربع بر ثانیه است. در سایر ماهها ضریب تهویه در ساعت ۰۶ بین ۳۰۰۰ تا ۱۰۰۰۰ مترمربع بر ثانیه و در ساعت ۱۵ UTC بین ۱۰۰۰ تا ۱۷۰۰۰ UTC با ۱۷۰۰۰ مترمربع بر ثانیه دارد. ضریب تهویه ماه‌های مهر، اسفند و شهریور در ساعت ۰۹ UTC ۱۰۰۰۰ تا ۱۱۰۰۰ مترمربع بر ثانیه و در ساعت ۱۲ UTC ۱۱۰۰۰ تا ۱۳۰۰۰ مترمربع بر ثانیه است.

نمودار تغییرات ماهیانه متوسط سرعت قائم جو نشان داد که در تمام ماه‌های سال در ساعتها ۰۰، ۰۳ و ۲۱ UTC در تراز ۸۲۵ میلی‌بار فرونشست هوا وجود دارد. در ساعت ۱۸ UTC نیز بجز ماه‌های تیر، مرداد و شهریور که امکان صعود کم هوا را دارند در سایر ماه‌های سال فرونشست هوا وجود دارد. در مهرماه نیز به جز ساعتها ۰۹، ۱۲ و ۱۵ UTC در سایر ساعتها روز شرایط فرونشست دارد و همچنین خرداد ماه نیز شرایط مهر ماه را دارد تنها در ساعت ۰۶ UTC با هم اختلاف دارند. سایر ماه‌های سال که شامل ماه‌های سرد سال و فروردین و اردیبهشت می‌شود در کلیه ساعتها شبانه‌روز به طور متوسط شرایط فرونشست هوا برقرار است. نمودار تغییرات ماهیانه متوسط سرعت قائم جو در تراز ۷۰۰ میلی‌بار بیان می‌دارد که در تمام ماه‌های سال بجز تیر و مرداد در ساعتها ۰۰، ۰۳ و ۲۱ UTC فرونشست هوا وجود دارد. در ساعت ۱۸ UTC نیز بجز ماه‌های تیر، مرداد و شهریور که امکان صعود کم هوا را دارند در سایر ماه‌های سال فرونشست هوا وجود دارد. تغییرات ماهیانه فرونشینی جو در ساعت ۰۹ و ۱۵ UTC در ماه‌های مختلف سال نسبت به سایر ساعتها شبانه‌روز زیاد است. دامنه تغییرات در ساعت ۱۲ UTC بین ۰/۲۵ تا ۰/۰۶ پاسکال بر ثانیه است. از آبان تا اسفند و همچنین فروردین و اردیبهشت متوسط ماهانه سرعت قائم جو نشان می‌دهد در کلیه ساعتها شبانه‌روز شرایط فرونشست هوا برقرار است. تغییرات ماهیانه متوسط سرعت قائم جو در ساعات ۰۰ تا ۲۱ UTC میل به خنثی بودن در تراز ۵۰۰ میلی‌باری را در اغلب ماهها نشان می‌دهد. بررسی متوسط سرعت قائم جو در ساعت ۰۰ تا ۰۶ UTC در ماه‌های گرم سال با توجه به حاکم شدن پرارتفاع جنوب حراره بر روی کشور و همچنین استان مرکزی میل به فرونشینی جو در تراز ۵۰۰ میلی‌بار را در این ماهها نشان می‌دهد و در مورد ماه‌های سرد سال در این بازه ساعتی در تراز ۵۰۰ میلی‌بار به میزان کم میل به صعود وجود دارد. در ساعت ۱۲ UTC در ماه‌های خرداد، تیر و مرداد متوسط سرعت قائم جو مهیا بودن شرایط صعود را گواه است. در نمودار شکل ۷ تغییرات متوسط ارتفاع لایه‌مرزی و ضریب



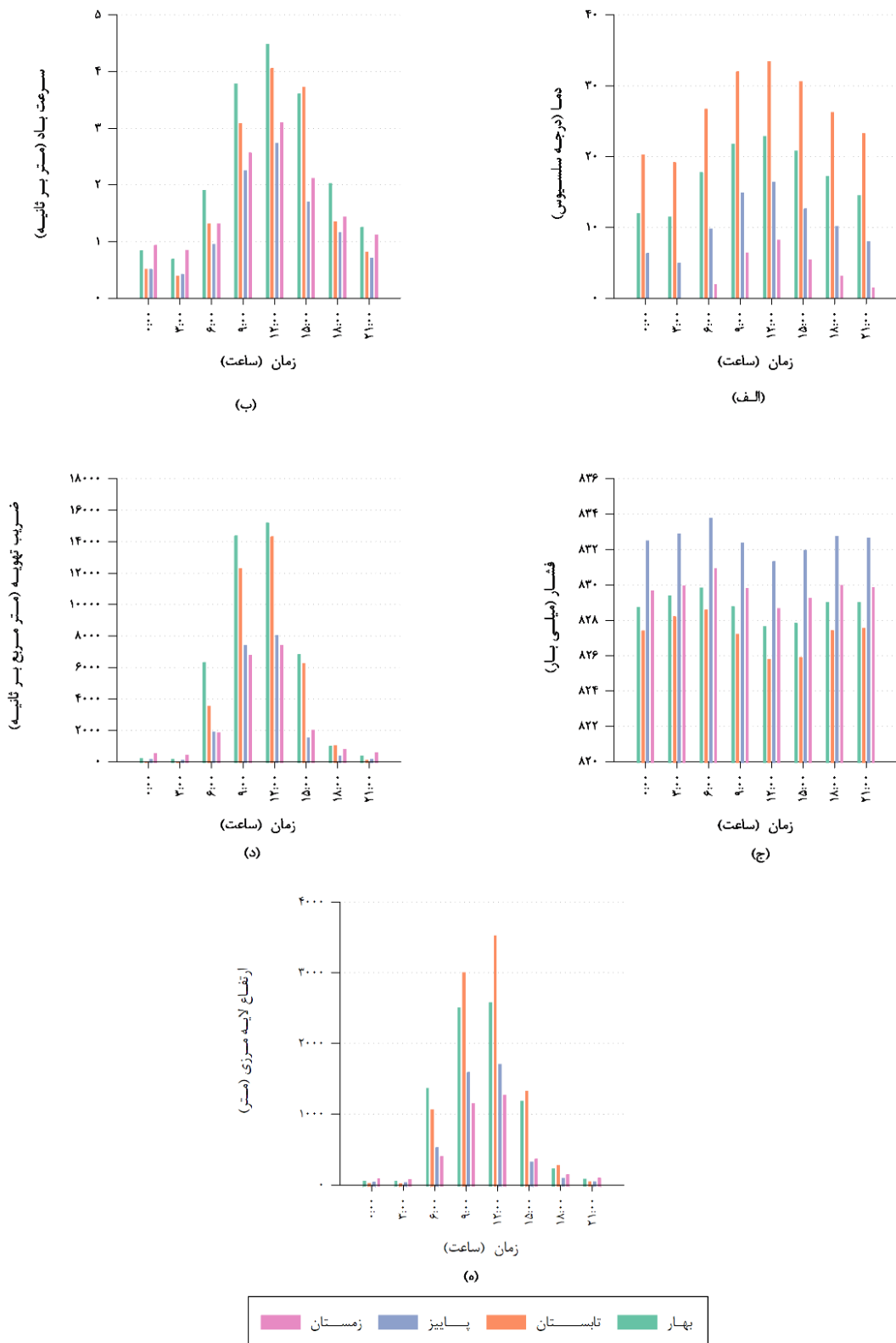
شکل ۷- تغییرات متوسط (الف) ارتفاع لایه مرزی و (ب) ضریب تهویه هوای ماهانه در ساعت‌های ٠٠، ٠٣، ٠٦، ٠٩، ١٢، ١٥، ١٨ و ٢١ UTC (١٣٩٩-١٣٨٠) طی سال‌های (۱۳۹۹-۱۳۸۰)

Fig. 7- Changes in average boundary layer height (top) and air conditioning coefficient (bottom) monthly at 00, 03, 06, 09, 12, 15, 18, and 21 TC during the years (2001-2020)

د شکل ۸ متوسط ضریب تهویه فصلی طی ساعت‌های ۰۰ تا ۲۱ UTC را نشان می‌دهد. در تمامی فصل‌ها ضریب تهویه در ساعت ۰۰، ۰۳، ۱۸ و ۲۱ UTC کمتر از ۱۰۰۰ مترمربع بر ثانیه است. در ساعت ۰۶ و ۱۵ UTC متوسط ضریب تهویه در فصل زمستان و پاییز کمتر از ۲۰۰۰ مترمربع بر ثانیه است. در ساعت ۰۶ UTC ضریب تهویه در تابستان و بهار به ترتیب برابر با ۴۰۰۰ و ۷۰۰۰ مترمربع بر ثانیه است. در ساعت ۱۵ UTC ضریب تهویه در تابستان و بهار با ۸۰۰۰ مترمربع بر ثانیه است. در ساعت ۰۹ و ۱۲ UTC ضریب تهویه فصل پاییز و زمستان بین ۷۰۰۰ تا ۸۰۰۰ مترمربع بر ثانیه است. در ساعت ۰۹ UTC ضریب تهویه در تابستان و بهار به ترتیب برابر با ۱۲۰۰۰ و ۱۴۰۰۰ مترمربع بر ثانیه است. در ساعت ۱۲ UTC ضریب تهویه در تابستان و بهار حدود ۱۴۰۰۰ تا ۱۵۰۰۰ مترمربع بر ثانیه است. همان‌طور که نمودارهای شکل ۸ نشان می‌دهد متوسط ارتفاع لایه‌مرزی در فصل تابستان اختلاف قابل توجهی با سایر فصل‌ها بویژه با فصل پاییز و زمستان دارد. طی ساعت‌های ۰۰، ۰۳، ۱۸ و ۲۱ UTC اختلاف بین متوسط ارتفاع لایه‌مرزی کم است. در ساعت‌های ۰۶ و ۱۵ UTC اختلاف بین فصل زمستان و پاییز کم است. همچنین این اختلاف بین تابستان و بهار نیز کم است؛ اما این اختلاف بین فصول سرد و فصول گرم سال در ساعت‌های ذکرشده قابل توجه است. در ساعت‌های ۰۹ و ۱۲ UTC اختلاف بین فصل‌های مختلف سال زیاد است. این اختلاف بین فصل زمستان و تابستان در ساعت ۰۹ UTC حدود ۲۰۰۰ متر و در ساعت ۱۲ UTC بیش از ۲۰۰۰ متر است؛ بنابراین با توجه به تغییرات متوسط ارتفاع لایه‌مرزی در فصل‌های زمستان و پاییز و کم بودن ضریب تهویه هوا امکان انشاست آلاینده‌های جوی بخصوص در ساعت‌های شباهن و صبحگاهی زیاد است. در فصل‌های تابستان و بهار بخصوص در طول روز با توجه به افزایش ارتفاع لایه‌مرزی و نیز وزش باد مؤثر پتانسیل نگهداشت آلاینده‌ها کم می‌شود.

بررسی روند میانگین فصلی کمیت‌های موردنظر

متوسط تغییرات دمای فصلی طی ساعت ۰۰ تا ۲۱ UTC حاکی از اختلاف دما تا حدود ۲۰ درجه سلسیوس در ساعت ۱۸ تا ۰۳ UTC و اختلاف دما تا حدود ۲۵ درجه سلسیوس در ساعت ۰۶ تا ۱۵ UTC بین فصل زمستان و تابستان است. دمای کمتر در دو فصل پاییز و زمستان بخصوص در ساعت شباهن و صبحگاهی در پاییز بودن ارتفاع لایه‌مرزی در این دو فصل تأثیرگذار است؛ بنابراین می‌تواند سبب افزایش پتانسیل نگهداشت آلاینده‌ها در این زمان شود (شکل ۸، الف). متوسط سرعت باد در فصل‌های زمستان و بخصوص پاییز در تمام ساعت‌های شباهن‌روز کم است و همان‌طور که در نمودار ب از شکل ۸ آمده است میزان متوسط سرعت باد در این فصول در اغلب ساعات کمتر از ۱/۵ متر بر ثانیه است. متوسط سرعت باد در فصل بهار و تابستان با اختلاف کمی بیشتر از زمستان و پاییز است. به طورکلی متوسط سرعت باد کم بویژه در ساعت‌های شباهن و صبحگاهی در تمام فصول حاکی از امکان جابجایی کم آلاینده‌ها و ارتفاع کم لایه‌مرزی است. سرعت باد در فصول گرم در ساعت‌های روزانه به‌طور متوسط بیشتر از فصول گرم سال است که ارتفاع لایه‌مرزی بیشتری را در این فصول سبب می‌شود. متوسط فشار در فصل پاییز بیش از سایر فصل‌ها است که در نمودار ج شکل ۸ مشخص است. فصل زمستان نیز با حدود ۲ میلی‌بار متوسط فشار کمتر پس از فصل پاییز متوسط فشار بیشتری نسبت به فصل تابستان و بهار دارد. کمترین متوسط فشار فصلی را فصل تابستان دارد که دامنه تغییرات متوسط فشار آن بین ۸۲۶/۵ تا ۸۲۸/۵ UTC است. در ساعت‌های ۱۲ و ۱۵ UTC متوسط فشار کمترین مقدار را در فصل تابستان دارد. متوسط فشار بالا در فصل پاییز و زمستان این فصل‌ها را مستعد نگهداشت آلاینده‌ها می‌کند و متوسط فشار کم در فصل تابستان و بهار، ایجاد جریانات همرفتی و جابجایی هوا را سبب می‌شود. نمودار



شکل ۸- متوسط تغییرات فصلی (الف) دما، (ب) سرعت باد، (ج) فشار، (د) ضریب تهویه هوا و (ه) ارتفاع لایه مرزی طی سال‌های (۱۳۹۹-۱۳۸۰)

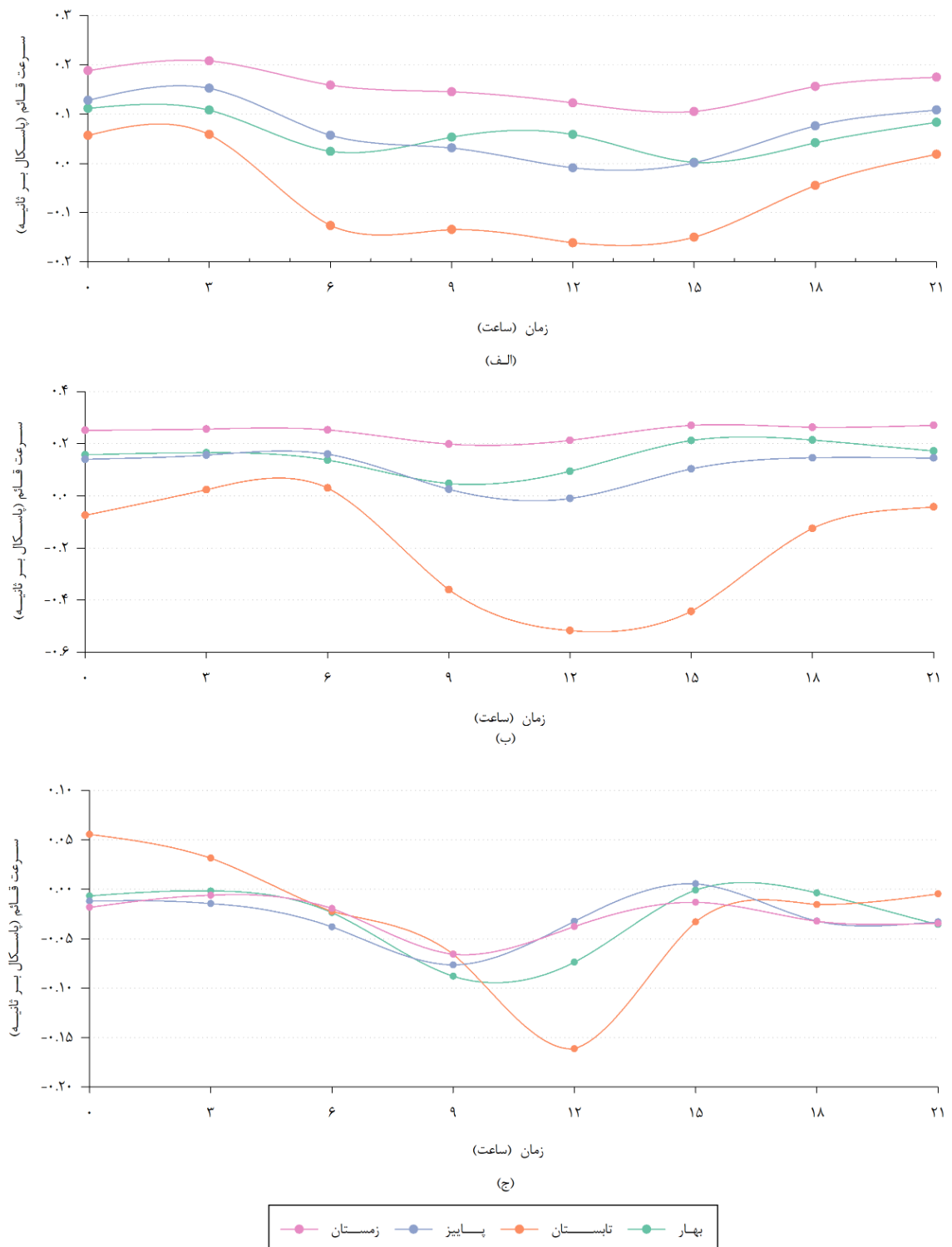
Fig. 8- Average seasonal changes of a) temperature, b) wind speed, c) pressure, d) air conditioning coefficient and d) boundary layer height during the years (2001-2020)

صبحگاهی شرایط خنثی و در ساعتهای ظهر میل به صعود هوا در این تراز وجود دارد.

در این مقاله بارش مؤثر و همچنین ناپایداری جوی همراه با سامانه‌های بارشی بعنوان کمیتی که می‌تواند موجب کاهش آلاینده‌های جوی شود مورد بررسی قرار می‌گیرد. میزان متوسط بارش طی سال‌های ۱۳۸۰ تا ۱۳۹۹ در ایستگاه همدیدی اراک $30.8/5$ میلی‌متر است. نمودار بارش سالانه در این بازه زمانی که در شکل (۱۰) آمده است حاکی از ثبت بارش سالیانه به میزان بیش از 400 میلی‌متر در سال‌های ۱۳۸۳، 1397 و 1398 است. در سال‌های 1387 و 1396 نیز میزان بارش کمتر از 200 میلی‌متر بوده است. متوسط بارش سالیانه به میزان $30.8/5$ میلی‌متر بارش و با سهم روزانه کمتر از یک میلی‌متر در سال نقش قابل توجهی برای کاهش آلاینده‌ها نیست.

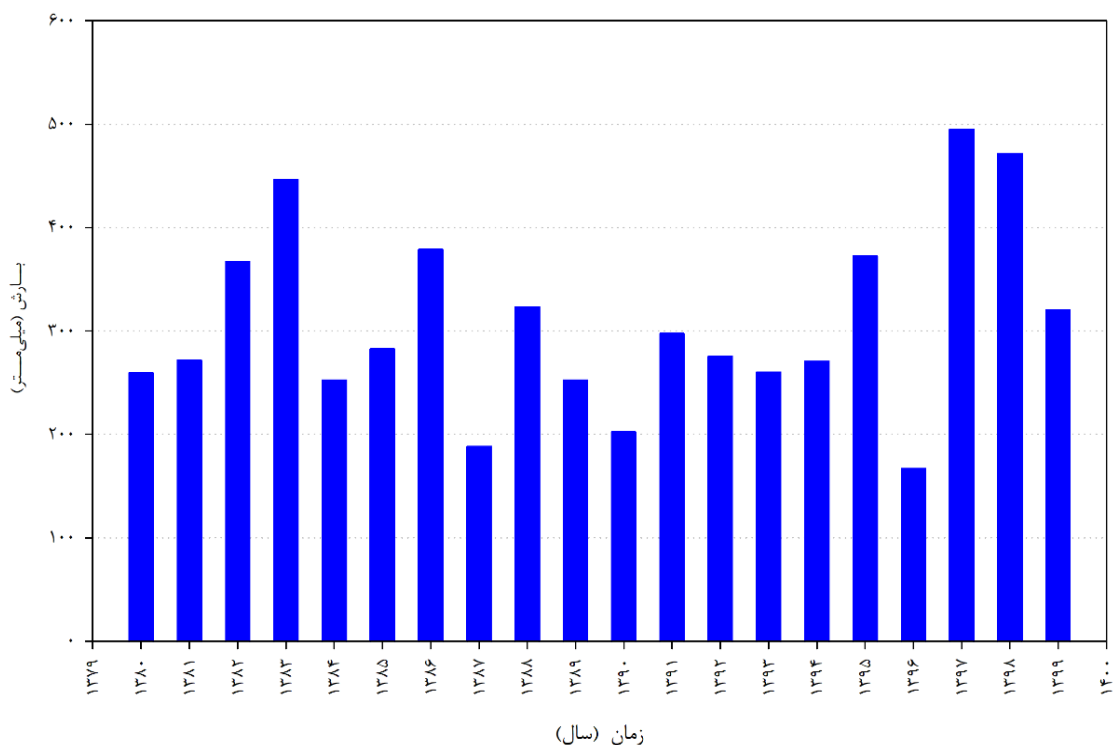
تعداد روزهای بارشی و میزان بارش روزانه بیش از 10 میلی‌متر طی دوره آماری 1380 تا 1399 آمده در نمودار شکل (۱۱) حاکی از متوسط 68 روز همراه با بارش و تنها 9 روز همراه با بارش بیش از 10 میلی‌متر است. بیشترین روز همراه با بارش 92 روز در سال 1386 و کمترین روز همراه با بارش 50 روز در سال 1396 است. در سال‌های 1386 و 1396 تعداد روزهای با بارش بیش از 10 میلی‌متر به ترتیب 13 و 2 روز است. سال‌های 1382 و 1397 بیشترین روزهای همراه با بارش بیش از 10 میلی‌متر 15 روز است. با توجه به میزان بارش متوسط سالیانه و همچنین تعداد روزهای بارشی و بویژه اینکه اغلب روزهای بارشی کمتر از 10 میلی‌متر است، می‌توان گفت بارش بعنوان یک کمیت اقلیمی نمی‌تواند تأثیر بسزایی در کاهش آلاینده‌ها داشته باشد.

نحوه تغییرات متوسط سرعت قائم جو در فصول مختلف طی ساعتهای 00 تا 21 UTC در ترازهای 825 میلی‌بار بیانگر شرایط فرونشست در تمامی ساعتهای شبانه‌روز در فصل‌های زمستان، پاییز و بهار است که در نمودار (الف) از شکل 9 آمده است. در فصل تابستان نیز در ساعتهای 00 ، 03 و 21 با توجه به متوسط سرعت قائم جو شرایط فرونشست در تراز 825 میلی‌بار وجود دارد. در ساعت 06 تا 18 UTC در فصل تابستان شرایط برای صعود جو در این تراز وجود دارد. تحلیل نمودار تغییرات متوسط سرعت قائم جو نشان از عدم صعود هوا در این تراز ارتفاعی بخصوص در فصول همراه با آلوگی است. نمودار (ب) از شکل 9 نحوه تغییرات متوسط سرعت قائم جو در فصول مختلف طی ساعتهای 00 تا 21 UTC در تراز 700 میلی‌بار است که بیانگر شرایط فرونشست در کلیه ساعتهای شبانه‌روز در فصل‌های زمستان، پاییز و بهار است. در فصل تابستان نیز در ساعتهای 03 و 06 UTC با توجه به متوسط سرعت قائم جو شرایط فرونشست در تراز 700 میلی‌بار وجود دارد. در ساعت 09 UTC در فصل تابستان شرایط برای صعود جو در این تراز وجود دارد. در روزهای سرد سال تغییرات متوسط سرعت قائم جو نشان از عدم صعود هوا در تراز ارتفاعی 700 میلی‌باری است. بررسی وضعیت فصلی تغییرات متوسط سرعت قائم جو در تراز 500 میلی‌بار در نمودار (ج) از شکل 9 نیز نوسانات کمتر این تراز ارتفاعی را نسبت به ترازهای 825 و 700 میلی‌باری نشان می‌دهد. در فصل تابستان در ساعتهای بامدادی و صبحگاهی تمايل به فرونشيني در جو وجود دارد و در ساعتهای ظهر و عصر میل به صعود جو وجود دارد. در فصل‌های بهار، پاییز و زمستان در ساعت شبانه و



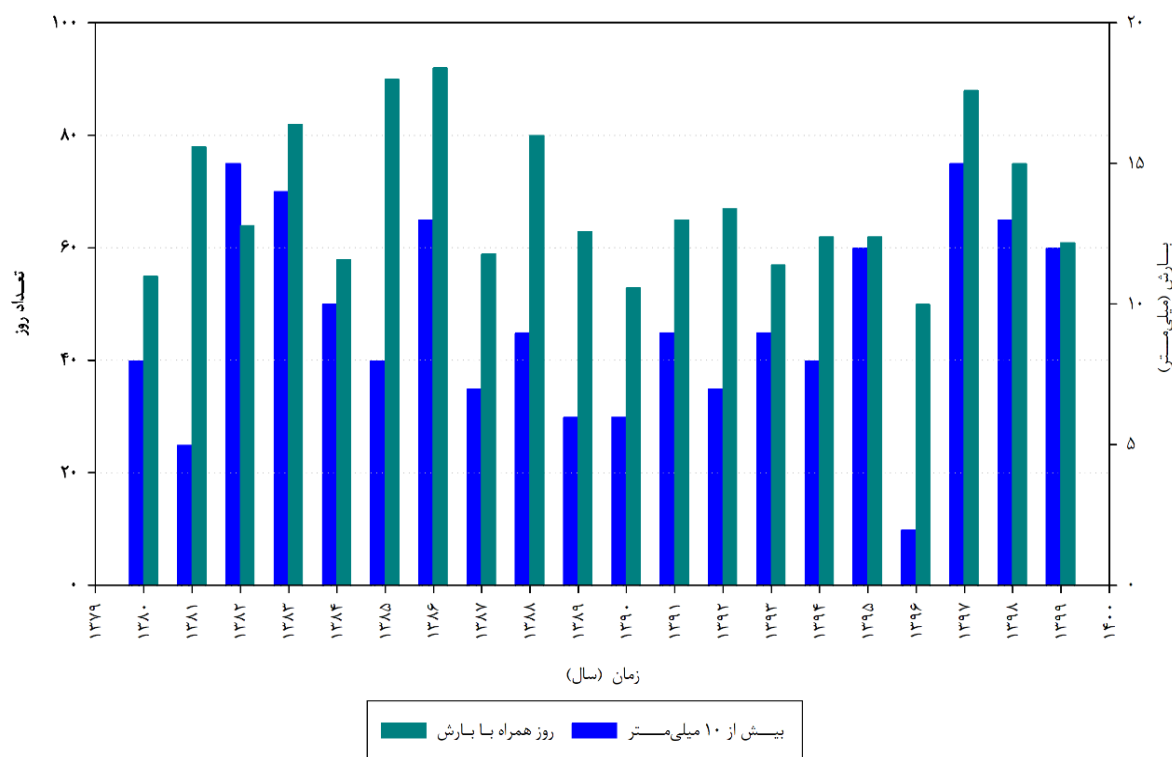
شکل ۹- تغییرات فصلی متوسط سرعت قائم جو (فرونشینی جو) در تراز (الف) ۸۲۵ میلی‌بار، (ب) ۷۰۰ میلی‌بار و (ج) ۵۰۰ میلی‌بار طی سال‌های ۱۳۹۹-۱۴۰۰ (۲۰۰۱-۲۰۲۰). محور قائم سرعت قائم جو بر حسب پاسکال بر ثانیه و محور افقی ساعت بر حسب UTC است

Fig. 9- Average seasonal changes of atmospheric vertical velocity (atmospheric subsidence) at levels a) 825 mb, b) 700 mb and c) 500 mb during years (2001-2020). The vertical axis is the vertical velocity of the atmosphere in pascals per second and the horizontal axis is the hour in UTC



شکل ۱۰- میزان بارش سالانه طی سال‌های (۱۳۹۹-۱۳۸۰)

Fig. 10- The amount of annual precipitation during the years (2001-2020)



شکل ۱۱- تعداد روزهای همراه با بارش و روزهای با بارش بیش از ۱۰ میلی‌متر

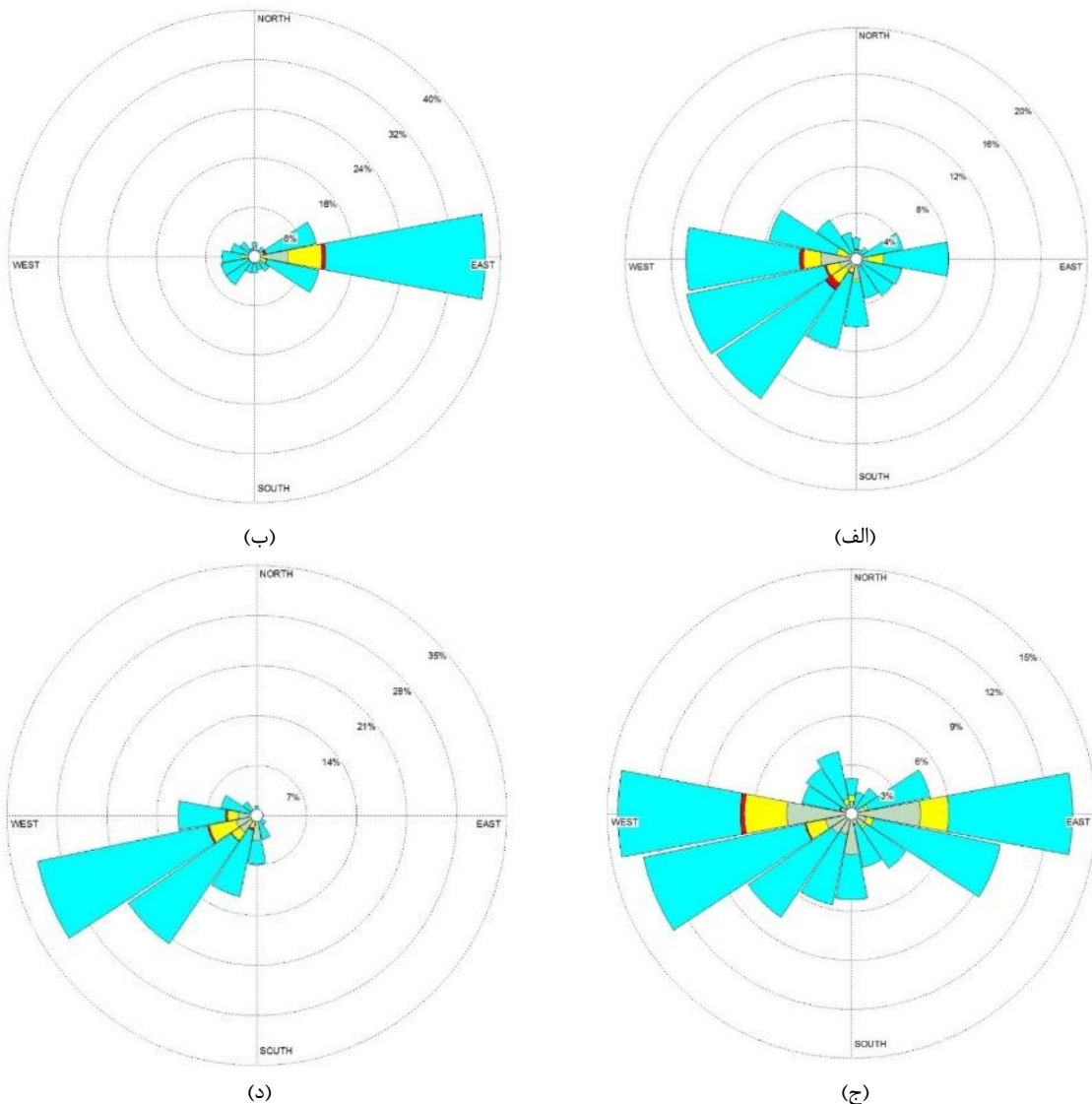
Fig. 11- The number of days with rain and days with more than 10 mm

۸۰۰ میلی‌بار، گلبداد شهر شازند رسم شد (شکل ۱۲). گلبداد فصل‌های بهار و زمستان ۲۰۱۹ شازند حاکی از باد غالب جنوب غربی است که می‌تواند منجر به انتقال آلودگی به سمت اراک گردد و گلبداد فصل پاییز نیز حاکی از باد غالب جنوب غربی و باد نائب غالب شرقی است؛ اما در گلبداد تابستان باد غالب شرقی است؛ بنابراین با توجه به جهت باد غالب جنوب در فصول بهار، پاییز و زمستان احتمال انتقال آلاینده‌های جوی از سمت شهر شازند به شهر اراک وجود دارد که می‌تواند در افزایش آلودگی شهر اراک نقش قابل توجهی ایفا کند.

جابجایی آلودگی از نقاط دیگر به منطقه

مورد مطالعه

بررسی دقیق انتقال آلودگی از نقطه‌ای به نقطه دیگر نیازمند مطالعه دقیق است؛ اما با توجه به اهمیت انتقال آلودگی شهر شازند و بخصوص آلودگی حاصل از نیروگاه برق شازند، در این مقاله اشاره مختصری به این مسئله شده است. ارتفاع شهر شازند از سطح دریا ۱۹۱۳ متر و ارتفاع دودکش نیروگاه شازند از سطح زمین ۲۰۰ متر است؛ بنابراین با استفاده از مؤلفه‌های افقی باد از داده‌های باز تحلیل شده Era5 باد برای سال ۲۰۱۹ در تراز فشاری



شکل ۱۲- گلبداد فصل (الف) بهار، (ب) تابستان، (ج) پاییز و (د) زمستان سال ۲۰۱۹ شازند در ارتفاع ۸۰۰ میلی‌بار
Fig. 12- Wind rose in a) spring, b) summer, c) autumn and d) winter 2019 in Shazand at an altitude of 800 mb

نتیجه‌گیری

فصل بیهار، پاییز و زمستان شرایط برای انتقال آلاینده‌های جوی از شازند به اراک فراهم می‌شود که می‌تواند منجر به افزایش آلودگی شهر اراک شود. نتایج مطالعه Javan Bakht Amiri (2015), Hamami (2022) and Khatami (2018) نیز ارتباط معنی‌دار و مستقیم کمیت‌های هواشناسی بر افزایش آلاینده‌های هوای را تأیید می‌کند و با نتایج این پژوهش همسو است.

به طور کلی بررسی کمیت‌های هواشناسی سطح زمین و سطوح فوقانی جو حاکی از پتانسیل بالای نگهداشت آلودگی و کم بودن ضریب تهویه شهر اراک است که بویژه در ماه‌های سرد سال و در ساعت‌های شبانه و صبحگاهی قابل توجه‌تر است. بنابراین سیاست‌ها و تصمیم‌گیری‌ها می‌بایست با تأکید بر استقرار صنایع با آلاینده‌گی کم باشد و مدیریت منابع آلاینده مخصوصاً در ایام سرد سال و ساعت شبانه و صبحگاهی می‌بایست مورد توجه قرار گیرد.

باتوجه به محدودیت دسترسی به داده‌های پایش غلظت آلاینده‌ها در استان مرکزی پیشنهاد می‌شود علاوه بر گسترش شبکه زمینی پایش، در ادامه مطالعه حاضر از داده‌های سنجش از دور برای بررسی دوره‌های آلوده جوی و مناطق تحت تأثیر آن استفاده شود. نتایج می‌تواند در بهبود پیش‌بینی غلظت آلاینده‌ها بویژه در فصول سرد سال اثرگذار باشد.

سپاسگزاری

بدینوسیله از پژوهشگاه هواشناسی و علوم جو و اداره کل هواشناسی استان مرکزی برای حمایت معنوی این پژوهش قدردانی می‌شود.

References

- Allahabadi, A. and Ahmadi Asoor, A., 2011. Measuring the air pollutants in Sabzevar, Iran. Journal of Sabzevar University of Medical Sciences. 18(2), 140-147. (In Persian with English abstract)
- Badamfirooz, J., Rahmati, A., Daneshpajoooh, N., Mousazadeh, R. and Mirzaei, R., 2022. Investigating

در این مقاله شهر اراک یکی از آلوده‌ترین شهرهای کشور بعنوان منطقه مورد بررسی انتخاب شد. به منظور بررسی کمیت‌های جوی تأثیرگذار بر آلودگی جو از داده‌های ایستگاه همدیدی اصلی ایستگاه اراک و از داده‌های باز تحلیل شده Era5 با تفکیک ۰/۲۵ درجه به صورت روزانه استفاده شد. نتایج، پاسخگوی اهداف این مقاله بود که شامل شناسایی کمیت‌های هواشناسی تأثیرگذار بر پتانسیل آلودگی، بررسی کمیت‌های جوی و پتانسیل آلودگی از نظر پراکنش زمانی و تحلیل صحیح وضعیت آلودگی و عوامل آن با هدف یاری به مدیریت منابع آلاینده بودند.

نتایج حاکی از آن است که دماه‌های پاییز در دوره سرد سال و همچنین دماه‌های کم شبانه و صبحگاهی در ماه‌های سرد سال می‌تواند سبب وارونگی دما و همچنین بالا رفتن پتانسیل نگهداشت آلاینده‌های جوی گردد. در این بازه متوسط فشار هوا نیز بالا است که می‌تواند سبب تشدید وارونگی شود. متوسط باد سطحی سالانه گویای تأثیر کم و ناچیز وزش باد بهویژه در ایام سرد سال و ساعت‌های صبحگاهی و شبانه است. نتایج بررسی مقادیر بارش نشان داد که سرانه بارشی تأثیر قابل توجهی در کاهش آلاینده‌ها ندارد. همچنین مشاهده شد ارتفاع لایه‌مرزی در فصول سرد سال و نیز در ساعت‌های شبانه به کمترین مقدار خود می‌رسد. به تبع آن مقادیر ضریب تهویه نیز کاهش می‌یابد و بنابراین پتانسیل نگهداشت آلاینده‌های جوی افزایش پیدا می‌کند و تجمع آلاینده‌ها در نزدیکی سطح زمین سبب کاهش کیفیت هوا می‌شود. در بررسی سرعت قائم جو نیز حرکات نزولی در فصول سرد سال و ساعت‌های شبانه حاکم بودند. بررسی گل‌باد شهر شازند و اراک نیز مبنی آن است که در

منابع

the impact of existing and under construction industries on the air quality of Arak City using ADMS model. Environmental Sciences. 20(1), 21-40. doi: 10.52547/ENVS.2021.1022

Bodor, Z., Bodor, K., Keresztesi, Á. and Szép, R., 2020. Major air pollutants seasonal variation

analysis and long-range transport of PM10 in an urban environment with specific climate condition in Transylvania (Romania). Environmental Science and Pollution Research. 27, 38181-38199. <https://doi.org/10.1007/s11356-020-09838-2>

Borhani, F., Ehsani, A.H., McGuirk, S.L., Shafepour Motlagh, M., Mousavi, S.M., Rashidi, Y. and Mirmazloumi, S.M., 2023. Examining and predicting the influence of climatic and terrestrial factors on the seasonal distribution of ozone column depth over Tehran Province using satellite observations. *Acta Geophys.* 72, 1191-1226. <https://doi.org/10.1007/s11600-023-01179-1>.

Borhani, F., Shafepour Motlagh, M., Ehsani, A.H., Rashidi, Y., Maddah, S. and Mousavi, S.M., 2023. On the predictability of short lived particulate matter around cement plant in Kerman, Iran: machine learning analysis. *International Journal of Environmental Science and Technology*. 20, 1513–1526. <https://doi.org/10.1007/s13762-022-04645-3>

Chan, L., Qi-hong, D., Wei-wei, L., Bo-liang, H., Ling-zhi, S., 2012. Characteristics of ventilation coefficient and its impact on urban air pollution. *Journal of Central South University Technology*. 19, 615-622. <https://doi.org/10.1007/s11771-012-1047-9>

Choudhary, M. P., Vaibhav, G., 2013. Causes, Consequences and Control of Air Pollution. Conference: All India Seminar on Methodologies for Air Pollution Control at: Malviya National Institute of Technology, Jaipur, Rajasthan, India.

Copernicus Climate Change Service (C3S), 2017. ERA5: Fifth generation of ECMWF atmospheric reanalyses of the global climate. Copernicus Climate Change Service Climate Data Store (CDS), date of access. <https://cds.climate.copernicus.eu/cdsapp#!/home>.

Gassmann, M., Mazzeo, N.A., 2000. Air pollution potential: Regional study in Argentina. *Environmental Management*. 25, 375-382. <https://doi.org/10.1007/s002679910029>

Ghahroudi Tali, M., 2016. Physical development of Arak city applying natural indicators. *European Journal of Geography*. 7(3), 99-110. <https://eurogeojournal.eu/index.php/egj/article/view/392>.

Holton, J.R., 2004. An Introduction to Dynamic Meteorology, Elsevier Academic Press, Fourth Edition.

Hosseinibalam, F. and Hejazi, A., 2012. Influence of meteorological parameters on air pollution in Isfahan. *Environment and Chemistry*, IPCBEE. 46.

Javan Bakht Amiri, S., Khatami, S.H., 2018. Investigating the relationship between air quality index pollutants and meteorological parameters in Tehran with regression analysis approach. *Human and Environment Quarterly*. 10 (1), 15-28. (In

Persian with English abstract).

Karam, A., Ranjbar Barouq, Z., Mohammadian, E., 2013. Study of the effect of topography on the air pollution of Arak city. the first conference of geographical sciences of Iran. ICGS01_194 (In Persian with English abstract).

Kayes, I., Shahriar, S., Hasan, K., Akter, M., Kabir, M. and Salam, M., 2019, The relationships between meteorological parameters and air pollutants in an urban environment. *Global Journal of Environmental Science and Management*. 5(3), 265-278. doi: 10.22034/GJESM.2019.03.01

Kermani, M., Davalit, M., Fallah Jokandan, S., Aghaei, M., Bahrami Asl, F. and Karimzadeh, S., 2016. Investigation of health index of air quality and its applications in seven cities of Iran in 2011. *J Arak Uni. Med. Sci.* 19 (12), 78-88. . (In Persian with English abstract).

Liu, Y., Zhou Y. & Lu, J., 2020. Exploring the relationship between air pollution and meteorological conditions in China under environmental governance. *Scientific reports*. 3, 14518. <https://doi.org/10.1038/s41598-020-71338-7>

Liu, Z., Shen, L., Yan, C., Du, J., Li, Y. and Zhao, H., 2020. Analysis of the Influence of Precipitation and Wind on PM2.5 and PM10 in the Atmosphere. *Advances in Meteorology*. 2020, 1-13. <https://doi.org/10.1155/2020/5039613>

Nowrozi, F. and Shamsipour, A.A., 2014. The effect of climatic factors in controlling or intensifying air pollution in Arak. International Conference on Environmental Sciences, Engineering and Technologies, Tehran. (In Persian with English abstract).

Oji, S. and Adamu, H., 2020. Correlation between air pollutants concentration and meteorological factors on seasonal air quality variation. *Journal of Air Pollution and Health*; 5(1), 11-32. <https://doi.org/10.18502/japh.v5i1.2856>

Panahi, Ali, 2015. Investigation of the relationship between air quality index pollutants and meteorological parameters in severe storms of Tabriz city. *Geographical Space Quarterly*. 62, 63-76. (In Persian with English abstract).

Salehi, M., Mirhoseini, H., Karimi, B. and Hashiani, A.A., 2021. Association between airborne particles and meteorological parameters in Arak industrial city. *Journal of Air Pollution and Health*. 6(1). 42-53. <https://japh.tums.ac.ir/index.php/japh/article/view/276>

Skoro, G., 2001. Transportation, Weather Disasters and Air Pollution. translated by Dr. Shahriar Khalidi, Shahid Beheshti University Press. Tehran, pp. 181.

Vari, H. and Hamami, M., 2022. The effect of meteorological parameters on the air pollution in Tehran and determining its status using geostatistics

and geographic information system, the 8th international conference on interdisciplinary research in civil engineering, architecture and urban management of the 21st century Tehran, <https://civilica.com/doc/1533262>

Voiculescu, M., Constantin, D.E., Condurache-Bota, S., Călmuc, V., Ros, A. and Mariana, C., 2020. Role of Meteorological Parameters in the Diurnal and Seasonal Variation of NO₂ in a Romanian Urban Environment. International Journal of Environmental Research and Public Health. 17 (17), 6228. <https://doi.org/10.3390/ijerph17176228>

Xu, H.H., Pu, J.J., He, J., Liu, J., Qi, B. and Du, R.G., 2016. Characteristics of Atmospheric Compositions in the Background Area of Yangtze River Delta during Heavy Air Pollution Episode. Advances in Meteorology. 2016, 1-13. <https://doi.org/10.1155/2016/7240486>



*This page is intentionally
left blank.*